

го решения задачи на ЭВМ (из решения схемы Гаусса) и по формулам (15). При решении примеров мы принимали, что число центральных систем в ряде $N=4, 5, 6$.

Для сравнения в таблице помещены значения обратных весов функций дирекционных углов связующих сторон ряда аналогичного построения, только расположенного между исходными дирекционными углами. Значения обратных весов также получены из решения схемы Гаусса и вычислены по формулам, предложенным ранее автором (см. сноска в данной статье).

На основании данных таблицы можно сделать следующие выводы:

Обратный вес дирекционного угла связующих сторон в ряде, построенном между исходными пунктами, примерно в два раза меньше, чем в аналогичном ряде, проложенном между исходными дирекционными углами.

Связующие стороны с наибольшим обратным весом находятся между серединой ряда и жесткими пунктами.

Изменение значений обратного веса дирекционного угла связующей стороны в рассматриваемом ряде между начальной и конечной сторонами находится в небольших пределах (порядка 8%). В ряде между дирекционными углами эти значения изменяются в пределах порядка 45%.

Как видно из таблицы, погрешности в определении весов по формулам (15) невелики и этими формулами вполне можно пользоваться при оценке точности проектируемых сетей указанного вида.

Список литературы: 1. Лозинский В. В. Ошибка дирекционного угла связующих сторон рядов из центральных систем линейно-угловой триангуляции. — Геодезия, картография и аэрофотосъемка, 1979, вып. 29. 2. Лозинский В. В. Продольный сдвиг линейно-углового ряда из центральных систем. — Геодезия, картография и аэрофотосъемка, 1979, вып. 29. 3. Лозинский В. В. Поперечный сдвиг линейно-углового ряда из центральных систем. — Геодезия, картография и аэрофотосъемка, 1979, вып. 30. 4. Монин И. Ф. Предвычисление точности рядов из центральных систем линейно-угловой триангуляции. — Геодезия, картография и аэрофотосъемка, 1976, вып. 24.

Работа поступила в редакцию 15 октября 1979 года.

УДК 528.28

Д. И. МАСЛИЧ, Л. С. ХИЖАК

ОБ ОПРЕДЕЛЕНИИ АСТРОНОМИЧЕСКОЙ РЕФРАКЦИИ ПО ИЗМЕРЕННЫМ МЕТЕОЭЛЕМЕНТАМ И ЗЕНИТНЫМ РАССТОЯНИЯМ

Существует много классических методов, позволяющих найти астрономическую рефракцию по измеренным метеоэлементам с определенной точностью [2]. Однако все эти методы

довольно приближенные. Это видно хотя бы из того, что при $z \approx 90^\circ$ рефракция строго не определяется и при выводе формул поправок за рефракцию не учтены все необходимые параметры.

Предлагается новый подход к определению астрономической рефракции по измеренным значениям метеоэлементов и зенитным расстояниям.

Пусть состояние атмосферы описывается следующей системой уравнений [1]:

$$\begin{aligned} \frac{\partial u}{\partial t} + u \frac{\partial u}{\partial x} + v \frac{\partial u}{\partial y} - 2w_z v &= -\frac{1}{\rho} \frac{\partial p}{\partial x} + N_x; \\ \frac{\partial v}{\partial t} + u \frac{\partial v}{\partial y} + v \frac{\partial v}{\partial y} + 2w_z u &= -\frac{1}{\rho} \frac{\partial p}{\partial y} + N_y; \\ g = \frac{1}{\rho} \frac{\partial p}{\partial z}; \rho \left(\frac{\partial u}{\partial x} + \frac{\partial v}{\partial y} \right) + \frac{\partial(pw)}{\partial z} &= 0; \\ \frac{\partial T}{\partial t} + u \frac{\partial T}{\partial x} + v \frac{\partial T}{\partial y} - \frac{\chi - 1}{\chi} \frac{T}{p} \frac{\partial p}{\partial t} + \left(\frac{\partial T}{\partial z} - \gamma_a \right) w &= \frac{\varepsilon}{c_p \rho}, \end{aligned} \quad (1)$$

где u, v, w — составляющие вектора скорости движения воздуха; w — составляющая угловой скорости вращения Земли; g — ускорение свободного падения; ε — приток тепла к единичному объему за единицу времени; c_p — удельная теплоемкость при постоянном давлении; $\chi = \frac{c_p}{c_v}$ — коэффициент адиабаты; γ_a — адиабатический градиент температуры; N_x, N_y — составляющие вектора силы турбулентной вязкости; ρ — плотность воздуха.

Решая эту систему для атмосферы Земли при начальных (2) и граничных условиях (3),

$$\begin{cases} T|_{t=0} = T(x, y, z); & v|_{t=0} = v(x, y, z), \\ v|_{t=0} = u(x, y, z), & p|_{t=0} = p(x, y, z); \\ T|_{M(0, 0, 0)} = T(t), & T|_{M(x_1, y_1, z_1)} = T_1(t), \\ p|_{M(0, 0, 0)} = p(t), & p|_{M(x_1, y_1, z_1)} = p_1(t), \\ u|_{M(0, 0, 0)} = u(t), & u|_{M(x_1, y_1, z_1)} = u_1(t), \\ v|_{M(0, 0, 0)} = v(t), & v|_{M(x_1, y_1, z_1)} = v_1(t), \\ w|_{M(0, 0, 0)} = w(t), & w|_{M(x_1, y_1, z_1)} = w_1(t), \end{cases} \quad (2)$$

$$(3)$$

получаем значения метеоэлементов, характеризующих состояние атмосферы. Следует отметить, что действительное состояние атмосферы может описываться и другими, более сложными системами уравнений, которые учитывают влияние целого ряда параметров и поэтому точнее описывают реальное состояние атмосферы.

Кроме того, частное решение задачи обусловлено начальными и граничными условиями, а следовательно, правильность ее решения будет зависеть от того, насколько эти условия соответствуют реальности. При необходимости, задаваясь соответствующим образом начальными и граничными условиями и учитывая физические свойства коэффициентов, входящих в систему (1) и ей подобных, учитываем слоистость и другие особенности земной атмосферы.

Из решения системы (1) в числе других параметров мы получим значение p и T . Тогда, используя уравнение Менделеева—Клапейрона, плотность воздуха найдем по формуле

$$\rho = p\mu/RT, \quad (4)$$

где μ — масса моля; R — газовая постоянная.

Значение показателя преломления определим по формуле Далля-Гладстона

$$n = 1 + c\rho. \quad (5)$$

Здесь c — постоянная, зависящая от длины волны распространяющегося излучения.

Чтобы определить астрономическую рефракцию, используем вариационный принцип Ферма [3]

$$\delta \int_0^S n dS = 0, \quad (6)$$

из которого следует система уравнений Эйлера:

$$\left. \begin{array}{l} F_y - \frac{d}{dx} F_{y'} = 0; \\ F_z - \frac{d}{dx} F_{z'} = 0; \end{array} \right\} \quad (7) \quad F = n(x, y, z) \sqrt{1 + y'^2 + z'^2}. \quad (8)$$

Решая систему (7) при граничных условиях

$$\begin{aligned} y|_{x=0} &= y_0, & y'|_{x=0} &= y'_0, \\ z|_{x=0} &= z_0, & z'|_{x=0} &= z'_0, \end{aligned} \quad (9)$$

получаем уравнение световой кривой, которое в общем виде запишется в форме:

$$y(x) = \Phi_1(x, y_0, y'_0, z_0, z'_0); \quad z(x) = \Phi_2(x, y_0, y'_0, z_0, z'_0). \quad (10)$$

Перейдем теперь к определению угла астрономической рефракции. Для этого рассмотрим рисунок.

На рисунке пунктирной линией обозначена граница земной атмосферы; ось z в прямоугольной системе координат zox на-

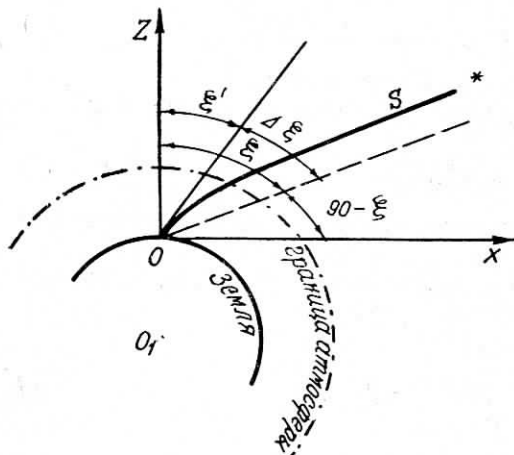
правлена по отвесной линии; ξ и ξ' — соответственно теоретическое и измеренное зенитные расстояния; S — длина хорды; $\Delta\xi$ — астрономическая рефракция.

Отсюда

$$\Delta\xi = \xi - \xi'. \quad (11)$$

Таким образом, для определения $\Delta\xi$ необходимо знать измеренное и теоретическое зенитные расстояния.

Для получения теоретического зенитного расстояния используем второе уравнение системы (10), которое для нашего случая может быть переписано в следующем виде:



$$z(x) = \varphi_2(x, z_0, z_0'), \quad (12)$$

Очевидно, теоретическое зенитное расстояние получим из соотношения

$$\operatorname{ctg} \xi = \frac{dz(x)}{dx} \Big|_{s_1 \rightarrow \infty} = \\ = \frac{d\varphi_2(x, z_0, z'_0)}{dx} \Big|_{s_1 \rightarrow \infty}, \quad (13)$$

где $S = \frac{x}{\sin \xi}$ и $z_0' = \operatorname{ctg} \xi'$.

К определению угла астрономической рефракции.

Таким образом, из соотношения (13), являющегося тригонометрическим уравнением, можно определить теоретическое зенитное расстояние ξ и, следовательно, значение астрономической рефракции $\Delta\xi$. Все это свидетельствует, что для нахождения теоретического зенитного расстояния, кроме измеренных значений метеоэлементов в двух точках атмосферы, необходимо иметь значение измеренного зенитного расстояния, которое определяет уравнение световой кривой. Решение конкретной задачи по установлению астрономической рефракции — предмет дальнейших исследований.

Задачу определения рефракции также можно решать в такой постановке.

Если известно теоретическое зенитное расстояние, определяемое по формуле

$$\cos \xi = \sin \varphi \sin \delta + \cos \varphi \cos \delta \cos t. \quad (14)$$

где ϕ — широта точки наблюдения; δ и t — соответственно склонение и часовой угол звезды, то из соотношения (13) можно получить измеренное зенитное расстояние ξ' . В такой постановке задачи результаты решения могут быть использованы при исследовании физических свойств атмосферы.

Решение системы (1) при условиях (2) и (3), а также системы (7) при условиях (9) — сложная задача. Однако, учтывая возможности ЭВМ, ее можно решить с необходимой степенью точности. Детальные описания атмосферы системой уравнений типа (1), а также разработка методики решения этой задачи является предметом дальнейших исследований.

Список литературы: 1. Гандин А. С. и др. Основы динамической метеорологии. — Л.: Гидрометеоиздат, 1955. 2. Колчинский И. Г. Рефракция света в земной атмосфере. — Киев: Наукова думка, 1967. 3. Смирнов В. М. Курс высшей математики, т. 4. 3-е изд. — М.: Госэнергоиздат, 1957.

Работа поступила в редакцию 18 декабря 1979 года.

УДК 523.3/4

Г. А. МЕЩЕРЯКОВ, В. Е. ЗИНГЕР, П. М. ЗАЗУЛЯК, В. В. КИРИЧУК

ОПЫТ ПРОГНОЗА АНОМАЛИЙ СИЛЫ ТЯЖЕСТИ ЛУНЫ

Прогноз (предсказание) характеристик гравитационного поля планеты (например, аномалий силы тяжести) в регионах, где отсутствуют прямые измерения этих характеристик, осуществляется с помощью метода множественной линейной регрессии (коллокации) [3, 8]. В этом методе большое значение принадлежит ковариационным функциям, получаемым по эмпирическим данным и выражающим определенные статистические свойства гравитационного поля.

Методика прогноза аномалий силы тяжести для Земли в настоящее время разработана в достаточной степени, и получен ряд практических результатов [2, 6, 11, 12, 13]. Сравнительный анализ гравитационных полей Земли, Луны, Марса показал наличие существенных различий в их структуре. Следовательно, нужно ожидать различия и в статистических свойствах этих полей. Так как на данном этапе исследований тел Солнечной системы прямые измерения аномалий силы тяжести на поверхности Луны и Марса практически отсутствуют, то представляется целесообразным исследовать метод прогноза аномалий силы тяжести этих планет хотя бы по их модельным значениям.

Цель предлагаемых исследований — апробация методики прогноза силы тяжести в условиях лунного гравитационного поля, которая включает в себя:

1) районирование поля аномалий силы тяжести Луны * на регионы, стационарные по дисперсии, и принудительная стационаризация глобального поля;

* Здесь и в дальнейшем под аномалиями силы тяжести Луны понимаются аномалии радиальных ускорений.